

# ДИМЕРИЗАЦИЯ АНТИФЕРРОМАГНИТНОЙ ЦЕПОЧКИ С ЧЕТЫРЕХСПИНОВЫМ ВЗАИМОДЕЙСТВИЕМ

© С.С.Апленсин

Институт физики им. Л.В. Киренского Сибирского отделения  
Российской академии наук,  
660036 Красноярск, Россия  
(Поступила в Редакцию 23 июня 1995 г.  
В окончательной редакции 15 января 1996 г.)

Квантовым методом Монте-Карло в анизотропном антиферромагнетике с четырехспиновым обменом и спином  $S = 1/2$  вычислены внутренняя энергия, тепл沫омкость, восприимчивость, парные и четырехспиновые корреляционные функции, радиус корреляции. Определена фазовая диаграмма основного состояния антиферромагнетика, димерного состояния на плоскости «анизотропия обмена-константа четырехспинового обмена». Вычислены энергия щели, зависимость фазового перехода димерное состояние-парамагнетик от величины константы четырехспинового обмена, кривые намагничивания магнетика с анизотропией обмена  $J_{x,y} J_z = 0.8$ .

Магнитные свойства одномерной антиферромагнитной цепочки представляют интерес как с экспериментальной, так и с теоретической точки зрения [1,2]. В зависимости от величины спина антиферромагнетик (AFM) имеет различное поведение: так, для полуделого спина существуют бесщелевые возбуждения [3], а для целых спинов существует щель в спектре возбуждений [4,5], позднее обнаруженная экспериментально [6]. Переход от бесщелевой фазы к фазе с конечной щелью определен также в антиферромагнитной цепочке с конкурирующими взаимодействиями во второй координационной сфере при некоторой их критической величине [7-9]. Это состояние Холдейн назвал димерным [4]; в нем спинам энергетически выгодно образовывать пары, находящиеся по отношению друг к другу в синглетном состоянии, и центры их масс упорядочены. К димеризации AFM-цепочки также приводит чередование величины обмена на четных и нечетных узлах [10].

В данной работе предлагается новый механизм, приводящий к димерному состоянию, — четырехспиновое взаимодействие. Ранее исследовались AFM с четырехспиновым обменом, которые имеют квадрупольное упорядочение для  $S > 1/2$  [11,12]. Для спина  $S = 1/2$  различные приближения, используемые в аналитических расчетах, дают либо AFM-упорядочение, либо его отсутствие [13,14]. К неисследованным проблемам относится влияние примесей или неоднородных де-

формаций, связанных с локальным изменением обмена, на димерное состояние. Четырехспиновое взаимодействие является результатом зависимости обменного взаимодействия от расстояния между атомами или взаимодействия электронов проводимости с локализованными спинами [15]. Такие магнетики относятся к нелинейным системам, и при вычислении их термодинамики весьма существенны корреляционные эффекты. Эффективным методом исследования магнетиков с четырехспиновым взаимодействием может использоваться квантовый метод Монте-Карло (МК) [16]. МК-метод основан на преобразовании Троттера от одномерной квантовой системы к двумерной изинговской системе со сложными взаимодействиями.

## 1. Модель и метод

Рассмотрим гейзенберговский анизотропный АФМ с анизотропией типа «легкая ось» с четырехспиновым взаимодействием вдоль цепочки и со спином  $S = 1/2$ , направленным вдоль оси  $Z$ . Неоднородные напряжения или примеси, приводящие к локальным флуктуациям билинейного и четырехспинового обмена, моделируем дельтообразным законом распределения обменных взаимодействий. Гамильтониан имеет вид

$$H = -2 \sum_{i=1}^L \left( J_{i,i+1}^z S_i^z S_{i+1}^z + J_{i,i+1}^{x,y} S_i^x S_{i+1}^x + J_{i,i+1}^{x,y} S_i^y S_{i+1}^y \right) - \sum_{i=1}^L K_{i,i+1,i+2,i+3} S_i S_{i+1} S_{i+2} S_{i+3} - \sum_{i=1}^L h(S_i^z + S_{i+1}^z), \quad (1)$$

где  $J^{z,y,x} < 0$ ,  $\Delta = 1 - J^{x,y}/J^z$  — анизотропия обмена ( $0 < \Delta < 1$ ),  $K$  — константа четырехспинового обмена,  $H = h/2|J|$  — внешнее магнитное поле. Неоднородность билинейного обмена в цепочке задается следующим законом распределения:

$$P(J_{i,i+1}^\alpha) = (1 - c)\delta(J_{i,i+1}^\alpha - J^\alpha) + c\delta(J_{i,i+1}^\alpha - I^\alpha), \quad J^\alpha, I^\alpha < 0 \quad (2)$$

( $\alpha = x, y, z$ ). С помощью датчика случайных чисел реализуется закон распределения (2). Затем выполняется распределение констант четырехспинового обмена. Если в окрестности спина радиусом меньше трех постоянных решетки существует связь  $I^\alpha$ , то константа четырехспинового обмена меняется с  $K$  на  $K_B$ .

Основная идея квантового метода МК состоит в преобразовании  $d$ -мерной квантовой системы в  $(d+1)$ -мерную классическую с помощью разбиения гамильтониана на слагаемые в различным типом связей и использования формулы Троттера для разложения экспоненциального оператора [17]

$$e^{A_1+A_2+A_3+\dots A_p} = \lim_{m \rightarrow \infty} \left[ e^{A_1/m} \cdot e^{A_2/m} \cdot e^{A_3/m} \cdots e^{A_p/m} \right]^m, \quad (3)$$

где  $m$  — целое положительное число, называемое числом Троттера. В работе Судзуки [18] была доказана теорема эквивалентности

о соответствии статистической суммы  $d$ -мерной квантовой системы и  $(d+1)$ -мерной классической системы. Разбиение гамильтониана на слагаемые является произвольным. В одномерном случае выбираются четные и нечетные слагаемые. Для фиксированного числа  $m$  соотношение (3) выполняется приближенно, и увеличение размера кластера, как показано в [19], уменьшает погрешность. Разбиваем гамильтониан (1) на четырехспиновые кластеры с перекрывающимися крайними обменами  $J$ , которые входят в кластеры  $A$  и  $B$  с весом  $1/2$ ,

$$H = H^A + H^B = \sum_{i=0}^{L/4} H_{4i+1}^A + \sum_{i=1}^{L/4} H_{4i-1}^B. \quad (4)$$

При этом  $m$ -е приближение статсуммы  $Z(m)$  имеет вид

$$Z(m) = \text{Tr} \left[ \left\{ \exp(-\beta H^A/m) \exp(-\beta H^B/m) \right\}^m \right], \quad (5)$$

где  $\beta = 1/(k_B T)$ . Когда  $m$  стремится к бесконечности, то  $Z(m)$  стремится к точному значению статистической суммы в термодинамическом пределе. Поскольку все четырехспиновые кластеры коммутируют друг с другом в каждой части гамильтониана  $H^A$  или  $H^B$ , то  $Z(m)$  можно представить в виде

$$Z(m) = \text{Tr} [(L_A L_B)^m] =$$

$$= \text{Tr} \left[ \left\{ \left( \prod_{i=0}^{L/4} \exp(-\beta H_{4i+1}/m) \right) \left( \prod_{i=1}^{L/4} \exp(-\beta H_{4i-1}/m) \right) \right\}^m \right]. \quad (6)$$

Образуем полный ортогональный набор векторов состояний  $\sigma_r = \{S_{n,r}, n = 1, 2 \dots L\}$ ,  $r = 1, 2, \dots, 2m$ . Тогда

$$Z(m) = \sum_{\sigma_v} \langle \sigma_1 | L_A | \sigma_2 \rangle \langle \sigma_2 | L_B | \sigma_3 \rangle \dots \langle \sigma_{2m} | L_A | \sigma_1 \rangle \quad (7)$$

и (6) имеет выражение для классической статистической суммы  $2d$ -решетки размером  $N \times 2m$

$$Z(m) = \sum_{\{\sigma_r\}} \prod_{\langle i, r \rangle} \exp [-\beta E(i, r)]. \quad (8)$$

Здесь  $E(i, r)$  — энергия блока из восьми спинов, определяемая матричным элементом,

$$\begin{aligned} \exp [-\beta E(i, r)] &= \left\langle S_{i,r} S_{i+1,r} S_{i+2,r} S_{i+3,r} \middle| \exp (-\beta H^{A,B}(i)) \right\rangle \times \\ &\quad \times S_{i,r+1} S_{i+1,r+1} S_{i+2,r+1} S_{i+3,r+1} \end{aligned} \quad (9)$$

Эта матрица размером  $16 \times 16$  разбивается на три независимые матрицы  $T_1 = (2 \times 2)$ ,  $T_2 = (4 \times 4)$  и  $T_3 = (6 \times 6)$ . Матричные элементы  $T_1$ ,  $T_2$  вычисляются аналитически, а  $T_3$  — численно.

В МК-процедуре используются три типа переворота спинов: замкнутые (loop), локальные (local) и глобальные (global). Все спины на выделенных линиях поворачиваются согласно вероятности перехода, определяемой из изменения локальной энергии. Нулевые матричные элементы (9) соответствуют бесконечной энергии и из процедуры исключаются. Повороты спинов на горизонтальных линиях имеют бесконечно малую вероятность и в процедуре также не участвуют. В МК-вычислениях используются периодические граничные условия по Троттеровскому направлению и вдоль цепочки. Число спинов в цепочке варьировалось от  $L = 64, 80, 120$  до  $200$ ,  $m = 4, 8, 12, 16, 24$ . Количество МК-шагов на один спин изменялось от  $M = 8000$  до  $30000$ . Один МК-шаг определяется поворотом всех спинов на решетке размером  $L \times 2m$ . Энергия  $E$  и теплоемкость  $C$  вычислялись по формулам

$$E = \left\langle \sum_i F_i^r \right\rangle, \quad F_i^r = -\partial \beta (\ln \rho_i^r), \quad C = dE/dT. \quad (10)$$

Здесь  $\rho_i^r$  — матричные элементы локальной матрицы плотности (9). Сумма берется по  $L \cdot m/2$  восьмиспиновым кластерам, и скобки обозначают термодинамическое среднее. Намагниченность  $M$  и продольная восприимчивость  $\chi$  определяются как

$$M = \left\langle \sum_i M_i^r \right\rangle, \quad M_i^r = \frac{1}{4m} \sum_{j=1}^8 S_j, \quad (S_j = \pm 1/2), \quad \chi = M/h. \quad (11)$$

Вычислены продольная  $R(r) = \langle S_0^z S_r^z \rangle$  спин-спиновая и четырехспиновая  $\langle S_0^z S_1^z S_r^z S_{r+1}^z \rangle$  корреляционные функции и их фурье-образ

$$\begin{aligned} \langle S_q S_{-q} \rangle &= 1/L \sum_{r=1}^L \exp(-iqr) \langle S_0^z S_r^z \rangle, \\ \langle t_q t_{-q} \rangle &= 1/L \sum_{r=1}^L \exp(-iqr) \langle S_0^z S_1^z S_r^z S_{r+1}^z \rangle, \end{aligned} \quad (12)$$

корреляционный радиус взаимодействия спинов  $\xi$  определяется соотношением [20]

$$\xi^2 = \sum_{r=1}^L r^2 \langle S_0^z S_r^z \rangle / \sum_{r=1}^L \langle S_0^z S_r^z \rangle. \quad (13)$$

Согласно работе Холдейна [21], неелевский параметр порядка  $M$  связан с двухспиновой корреляционной функцией, так как при  $r \gg \xi$  выполняется равенство  $\langle S_0^z S_r^z \rangle = \langle S^z \rangle^2$ , а димерный параметр порядка  $\tau$ , характеризующий упорядочение синглетно связанных пар, связан с четырехспиновой корреляционной функцией

$$M_S^- = \lim_{r \rightarrow \infty} \text{SQRT}(\text{abs} \langle S_0^z S_r^z \rangle), \quad \tau = \langle t(q=\pi) t(q=-\pi) \rangle. \quad (14)$$

## 2. Результаты и обсуждение

В области низких температур сильно проявляются квантовые эффекты, характеризуемые числом Троттера. Зависимость энергии от обратного числа Троттера имеет нелинейный вид, аппроксимируемый квадратичным законом

$$E(m) = E(\infty) + a/m^2 + b/m^4. \quad (15)$$

Энергия изотропного AFM с  $K = 0$ , вычисленная с использованием этой аппроксимации, хорошо согласуется с результатом работы [22] и с точной величиной энергии основного состояния  $E = -2 \ln 2 + 1/2$  [23]. Статистическая ошибка энергии растет при увеличении температуры от 0.5 до 2 %. При  $T/J > 0.4$  вычисляемые термодинамические характеристики слабо зависят от  $m$ , и соотношение (15) не выполняется. Значения восприимчивости при  $T/J = 0.15$  хорошо согласуются с точной величиной  $\chi(T = 0) = 2/\pi^2$  [24] и удовлетворительно с результатами работ [22, 25] при промежуточных температурах  $T \approx J$  из-за большой статистической ошибки. Значения спин-спиновой корреляционной функции для  $r = 1, 2$ , вычисленные из асимптотического продолжения до  $T = 0$ ,  $R(1) = -0.148 \pm 0.003$ ,  $R(2) = 0.062 \pm 0.003$  хорошо согласуются с аналитическими результатами основного состояния AFM  $R(1) = -0.147716$ ,  $R(2) = 0.060680$  [26]. Из спин-спиновой корреляционной функции, используя соотношение (13), определим радиус корреляции  $\xi$ . Изменение димерного параметра порядка и радиуса корреляции от  $1/m^2$  составляет 20–30 % в области низких температур. Радиус корреляции изменяется по степенному закону  $\xi = A/T^\nu$ , критический индекс  $\nu$  не зависит от величины анизотропии обмена и константы четырехспинового обмена и равен  $\nu = 1$ .

Асимптотическое продолжение обратной величины корреляционного радиуса от температуры до  $T = 0$  в изотропном AFM с четырехспиновым обменом дает конечное значение  $1/\xi(T = 0)$ . Для анизотропного AFM существует критическое значение константы четырехспинового обмена  $K_c$ , зависящее от анизотропии обмена, когда дальний AFM-порядок в основном состоянии разрушается.

Обратная величина корреляционного радиуса  $1/\xi_0(T = 0)$  димерного состояния (DS) меняется линейно в зависимости от константы четырехспинового обмена с отрицательным знаком и нелинейно для положительных  $K$ . На рис. 1 изображены эти зависимости для разных параметров анизотропий обмена. Полученные данные могут служить критерием применимости результатов, полученных методом точной диагонализации для конечных цепочек, к бесконечной системе, так как радиус корреляции должен быть меньше линейного размера системы. Спины в димерном состоянии спарены, т. е. каждый спин участвует в одной связи. Чтобы разорвать эту связь или перевести систему в возбужденное состояние, необходимо нагреть ее до некоторой температуры  $T_c$ , являющейся критической температурой перехода из димерного состояния в парамагнитное. Температуру  $T_c$  определим из температурной зависимости димерного параметра  $\tau(T)$ , изображенного на рис. 2 для разных величин констант четырехспинового обмена. Точка перегиба определяет фазовый переход второго рода DS–PM.

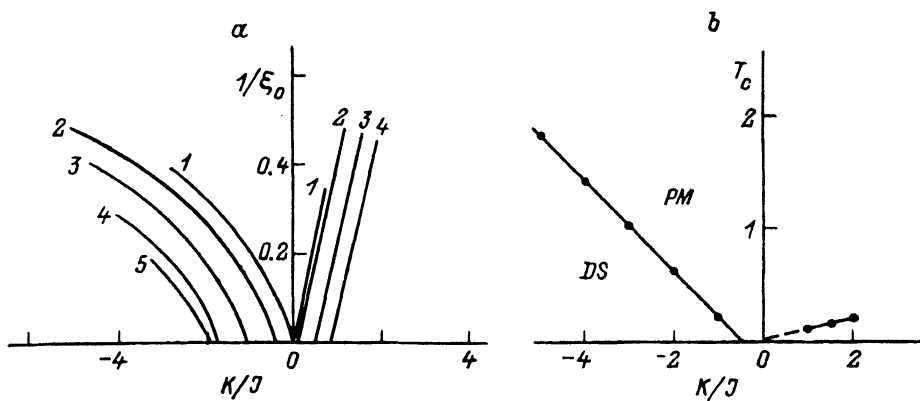


Рис. 1. Зависимости обратной величины корреляционного радиуса  $1/\xi_0$  в основном димерном состоянии от величины четырехспинового обмена для  $J^{x,y}/J = 1$  (1), 0.8 (2), 0.5 (3), 0.2 (4), 0.1 (5) (а) и температуры перехода димерное состояние–парамагнетик с анизотропией обмена  $J^{x,y}/J = 0.8$  от нормированной константы четырехспинового обмена (б).

Хвосты в  $\tau(T)$  на рис. 2 обусловлены конечными размерами образца. Асимптотическая зависимость этих величин от размеров цепочки при  $T > T_c$  дает нулевые значения (рис. 2, б). Вычисленные значения температуры перехода парамагнетик–димерное состояние с анизотропным обменом  $J^{x,y}/J = 0.8$  изображены на рис. 1, б. DS с конкурирующим четырехспиновым обменом имеет малые  $T_c$ , так как конкуренция приводит к образованию дополнительных флуктуаций в магнетике. Для  $K/J < 1$  величина  $T_c$  меньше 0.1, и вычисление ее точного значения требует больших размеров цепочки, числа Тrottера и МК-шагов. Поэтому для этих значений  $K$  сделано асимптотическое продолжение, изображенное на рис. 1, б штриховой линией.

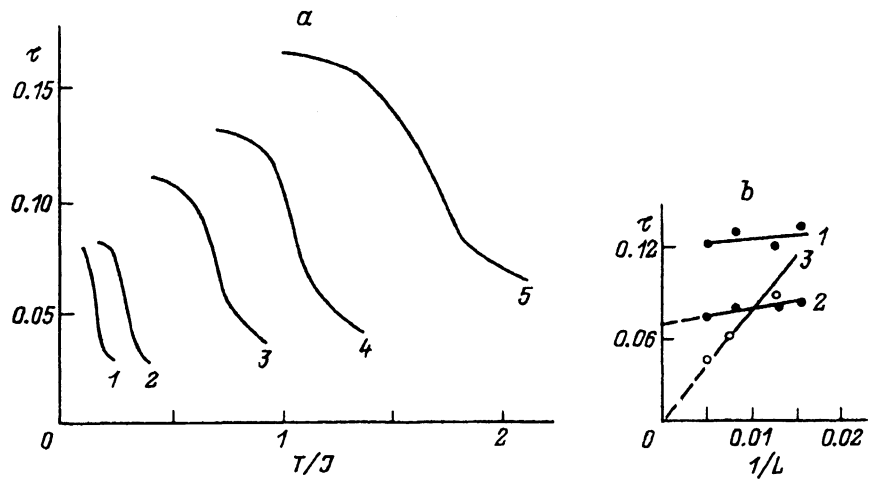


Рис. 2. Зависимость параметра порядка димерного состояния  $\tau$  от температуры для  $J^{x,y}/J = 0.8$ ,  $K/J = 1.5$  (1),  $-1$  (2),  $-2$  (3),  $-3$  (4),  $-5$  (5) (а) и обратной величины размера решетки  $1/L$  для  $K/J = -3$ ,  $T/J = 0.95$  (1),  $1.05$  (2),  $1.2$  (3) (б).

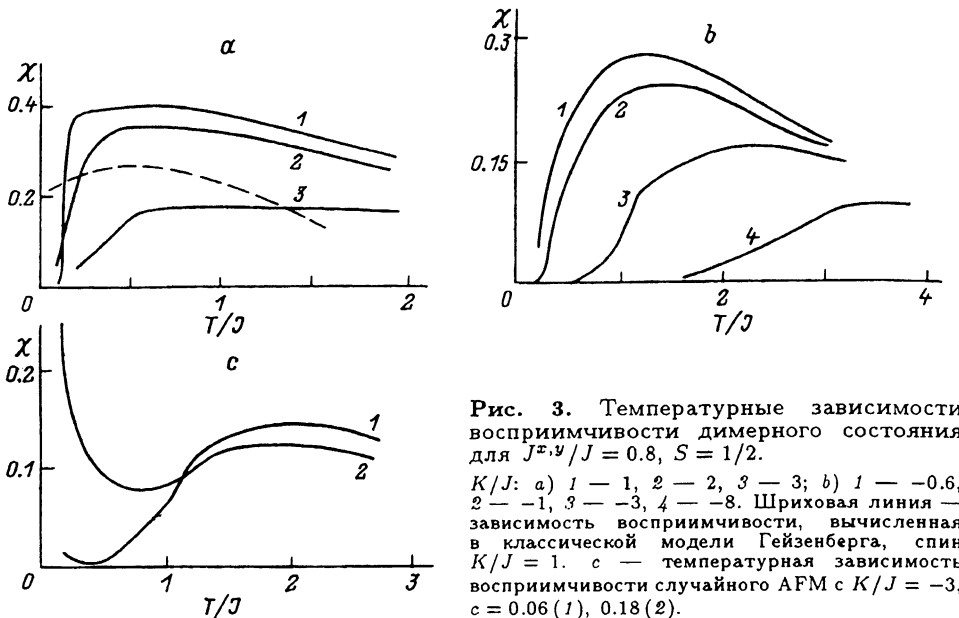


Рис. 3. Температурные зависимости восприимчивости димерного состояния для  $J^{x,y}/J = 0.8$ ,  $S = 1/2$ .

$K/J$ : a) 1 — 1, 2 — 2, 3 — 3; b) 1 — -0.6, 2 — -1, 3 — -3, 4 — -8. Штриховая линия — зависимость восприимчивости, вычисленная в классической модели Гейзенберга, спин  $K/J = 1$ . c — температурная зависимость восприимчивости случайного AFM с  $K/J = -3$ ,  $c = 0.06$  (1),  $0.18$  (2).

Магнитная восприимчивость димерного состояния равна нулю при  $T \rightarrow 0$  и экспоненциально растет при приближении к температуре перехода  $T_c$ . На рис. 3 приведены температурные зависимости восприимчивости димерного состояния. Максимум восприимчивости уменьшается с ростом четырехспинового обмена ( $K > 0$ ) и возрастает для конкурирующих  $K < 0$ , когда ближний порядок AFM сохраняется. Это связано с уменьшением эффективного обменного взаимодействия в магнетике для  $K < 0$  и его увеличением для  $K > 0$ . Критическая температура фазового перехода парамагнетик–димерное состояние связана с максимумом производной восприимчивости  $d\chi/dT$ . Штриховой линией изображена температурная зависимость восприимчивости анизотропного AFM с четырехспиновым обменом ( $K < 0$ ), вычисленная в классической модели Гейзенберга. Значение восприимчивости при  $T \rightarrow 0$  отлично от нуля и растет с увеличением константы четырехспинового обмена.

Температурное поведение теплоемкости AFM с четырехспиновым обменом, изображенное на рис. 4, в области температур  $0 < T < T_c$  (димерное состояние) описывается соотношением  $C(T) \cong A \exp(\Delta E/T)$ , где  $\Delta E$  — величина щели между основным и возбужденным состоянием. Энергия щели линейно растет с ростом константы четырехспинового обмена. Отношение  $\Delta E/T_c$  не зависит от  $K$  и лежит в интервале  $\Delta E/T_c = 1.65-1.8$ . Максимум теплоемкости AFM с четырехспиновым обменом (независимо от константы  $K$ ) растет и смещается в сторону высоких температур.

Введение в цепочку малой концентрации примесей (изменение одной константы из  $L = 200$ ), согласно закону распределения (2), при изменении знака константы четырехспинового взаимодействия либо при условии  $K_i = 0$  приводит к разрушению дальнего димерного порядка при неизменном билинейном обмене. Изменение величины билинейно-

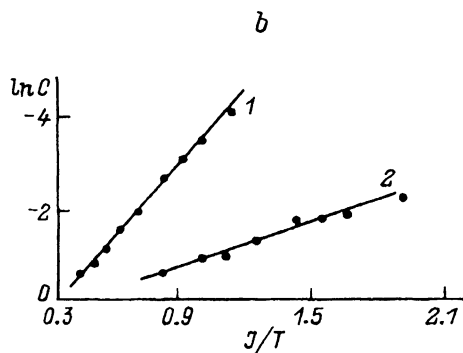
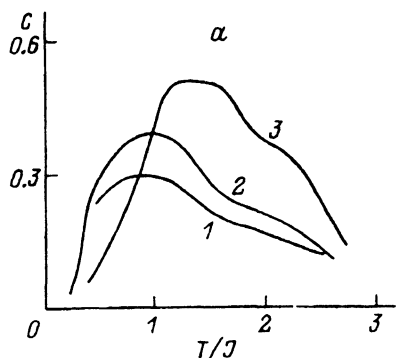


Рис. 4. Зависимости теплоемкости димерного состояния с  $K/J = -0.6$  (1),  $-1$  (2),  $-3$  (3) от температуры (а) и логарифма теплоемкости от обратной величины температуры,  $K/J = -8$  (1),  $-3$  (2) (б).

го обмена, например в соответствии с равенствами  $J_i = 0.1I$  и  $K_i = 0$ , приводит к увеличению восприимчивости при  $T \rightarrow 0$  (рис. 3, с).

По двум параметрам ( $1/\xi_0 \neq 0$  и параметру димерного состояния  $\tau$ , вычисленному из (14)) определена область существования димерной фазы в основном состоянии на плоскости «анизотропия обмена-константа четырехспинового обмена», приведенная на рис. 5. Сплошные линии отделяют область дальнего AFM-порядка от димерного состояния. Когда четырехспиновый обмен конкурирует с билинейным ( $K < 0$ ), то разрушение дальнего AFM-порядка от  $K$  при  $T = 0$  описывается линейной зависимостью  $K_c = 1 - J^{x,y}$ . При  $K/J > 2$  изменяется ближний порядок в DS от неелевского типа  $q = \pi$  к несоразмерному типу с  $q = 2.67\pi$ . Для  $K/J < -2$  граница перехода AFM-DS изменяется логарифмически  $K_c/J \sim \ln(1/J^{x,y})$ .

Аналогичные вычисления проделаны в классической модели Гейзенберга (1), где компоненты спина непрерывные величины. Если константа  $K$  положительна, это приводит к увеличению анизотропии типа «легкая ось», при этом неелевский тип упорядочения спинов в основном состоянии сохраняется. В случае конкуренции обменов ( $K < 0$ ) также существует критическое значение  $|K| > |K_c|$ , когда асимптотика имеет вид  $1/\xi(T = 0) \neq 0$  и в основном состоянии реализуется неупорядоченный AFM. На рис. 5 граница, разделяющая AFM и неупорядоченный AFM, изображена штриховой линией. Димерное состояние в классической модели Гейзенберга отсутствует.

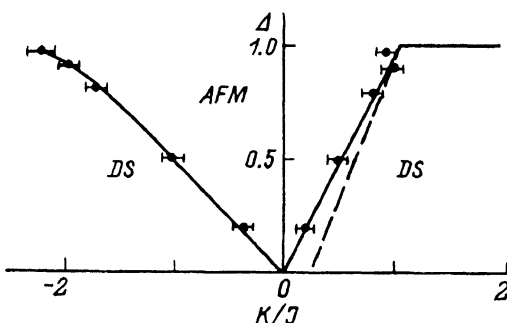


Рис. 5. Фазовая диаграмма основного состояния системы антиферромагнитик (AFM)-димерное состояние (DS) на плоскости «анизотропия обмена ( $\Delta = 1 - J^{x,y}$ ), — константа четырехспинового обмена» для  $S = 1/2$ .

Штриховая линия — граница, разделяющая упорядоченный AFM и случайный AFM для классического спина.

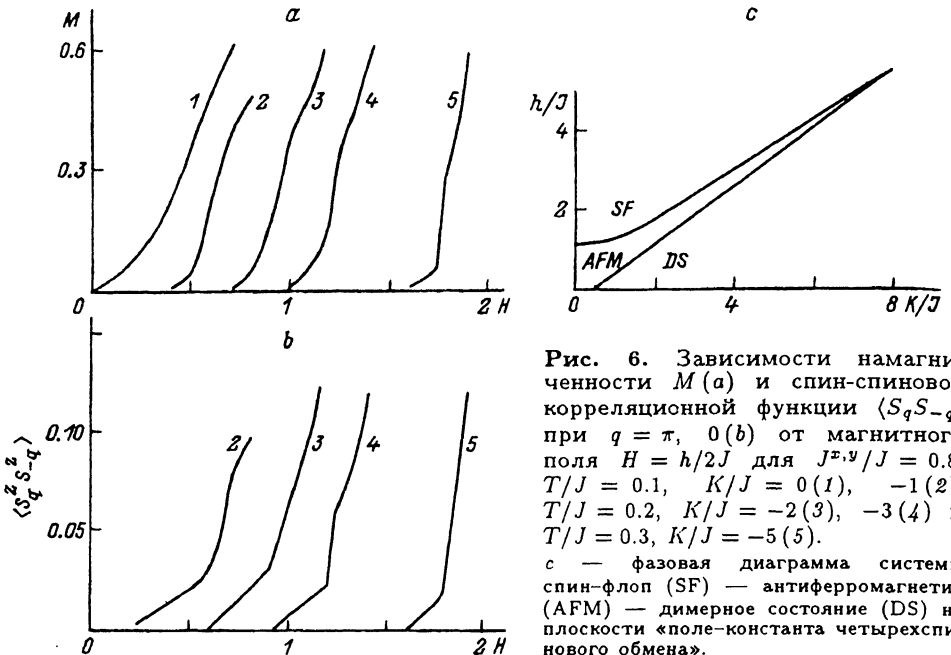


Рис. 6. Зависимости намагниченности  $M$  (а) и спин-спиновой корреляционной функции  $\langle S_q^z S_{-q}^z \rangle$  при  $q = \pi, 0$  (б) от магнитного поля  $H = h/2J$  для  $J^{x,y}/J = 0.8, T/J = 0.1, K/J = 0$  (1),  $-1$  (2),  $T/J = 0.2, K/J = -2$  (3),  $-3$  (4) и  $T/J = 0.3, K/J = -5$  (5).

с — фазовая диаграмма системы спин-флоп (SF) — антиферромагнетик (AFM) — димерное состояние (DS) на плоскости «поле-константа четырехспинового обмена».

Величину щели можно определить из кривых намагничивания  $M(H)$  и фурье-спектра спиновых корреляционных функций. Когда величина внешнего поля  $H_{c1}$  равна энергии щели, димерный порядок исчезает. Эти критические поля соответствуют точке перегиба димерного параметра порядка от поля  $\tau(H)$ . При  $H > H_{c1}$  образуется слабая намагниченность из-за температурных флуктуаций, и магнитное состояние соответствует антиферромагнетику с малой величиной параметра порядка  $\langle S(q = \pi)S(q = -\pi) \rangle$ , величина которого увеличивается с ростом внешнего поля до некоторого критического значения  $H_{c2}$  (рис. 6). При этом значении магнитного поля  $H = H_{c2}$ , соответствующему точке перегиба  $M(H)$  (рис. 6, а), и смене величины волнового вектора с  $q = \pi$  на  $q = 0$ , при котором  $\langle S_q^z S_{-q}^z \rangle$  максимальна, образуется спин-флоп-фазы. При  $H = H_{c3}$  зависимость намагниченности от поля  $M(H)$  выходит на насыщение. Все эти критические поля увеличиваются с ростом константы четырехспинового обмена, как изображено на рис. 6, с. Поскольку эти зависимости вычислены при конечных температурах  $T/J = 0.1-0.3$ , то температурные флуктуации размывают фазовый переход спин-флоп-фазу. Возможно, в основном состоянии переход является фазовым переходом первого рода. Для  $K < 0$  трудно определить щель из кривых намагничивания  $M(H)$ , так как вычисления проведены при высоких температурах порядка  $T_c/2$ .

По-видимому, образование димерного состояния в  $\text{CuGeO}_3$  [27-30] возможно за счет четырехспинового взаимодействия. Так, в области низких температур исчезают сигнал ЭПР [27], статическая и динамическая магнитные восприимчивости [28], а также отсутствуют магнитные рефлексы в нейтронных измерениях [29]. Магнитный момент индуцируется в сильном магнитном поле  $H = 120$  Т [30]. Эти результаты можно

качественно интерпретировать, заменив слабое межцепочечное взаимодействие внешним магнитным полем. Если межцепочечное обменное поле меньше энергии щели, то магнитный порядок и отклик на внешнее поле отсутствуют. Более детальные вычисления будут проведены с учетом симметрии и обменных взаимодействий в кристалле.

Итак, четырехспиновое взаимодействие независимо от знака приводит к образованию димерного состояния, в котором магнитная восприимчивость равна нулю, существует конечный радиус корреляции спинов и характерная величина энергетической щели между основным и возбужденным состоянием, увеличивающаяся с ростом константы четырехспинового обмена. Фазовый переход димерное состояние-парамагнетик является фазовым переходом второго рода. Бесконечно малая примесь, приводящая к разрыву четырехспинового взаимодействия, разрушает димерное состояние.

Эта работа выполнена при поддержке Международного научного фонда и правительства Российской Федерации (JDQ 100).

### Список литературы

- [1] Achiba N. J.Phys. Soc. Jap. **27**, 3, 561 (1969).
- [2] Bonner J.C., Fisher M.E. Phys. Rev. **135**, 3A, 640 (1964).
- [3] Anderson P.W. Mat.Res. Bull. **8**, 1, 153 (1973).
- [4] Haldane F.D.M. Phys. Rev. Lett. **50**, 11, 1153 (1983).
- [5] Yamamoto S., Miyashita S. Phys. Rev. **B48**, 13, 9528 (1993).
- [6] Katsumata K., Hori H., Takeuchi T., Date m., Yamagishi A., Renard J.P. Phys. Rev. Lett. **63**, 1, 86 (1989).
- [7] Nomura K., Okamoto K. J.Phys. Soc. Jap. **62**, 4, 1123 (1993).
- [8] Harada I., Kimura T., Tonegawa T. J. Phys. Soc. Jap. **57**, 8, 2779 (1988).
- [9] Tonegawa T., Harada I. J. Phys. Soc. Jap. **56**, 6, 2153 (1987).
- [10] Hida K. J. Phys. Soc. Jap. **62**, 2, 439 (1993).
- [11] Chen H., Levy P. Phys. Rev. Lett. **24**, 23, 2611 (1971).
- [12] Матвеев В.М. ЖЭТФ **63**, 11, 1626 (1973).
- [13] Нагаев Э.Л., Подельщиков А.И. ФТТ **24**, 11, 3434 (1982).
- [14] Roessli B., Fischer P., Furrer A., Petrakovskii G., Sablina K., Valkov V., Fedoseev B. J. Appl. Phys. **73**, 10, 6448 (1993).
- [15] Нагаев Э.Л. Магнетики со сложными обменными взаимодействиями. М. (1988). С. 17–19.
- [16] Raedt H., Lagendijk A. Phys. Rep. **127**, 4, 233 (1985).
- [17] Suzuki M.J. Stat. Phys. **43**, 5, 883 (1986).
- [18] Suzuki M. Prog. Theor. Phys. **56**, 5, 1454 (1976).
- [19] Tsuzuki T. Prog. Theor. Phys. **73**, 4, 1352 (1985).
- [20] Займан Дж. Модели беспорядка. М. (1982). С. 41.
- [21] Haldane F.D.M. Phys. Rev. **B25**, 11, 4925 (1982).
- [22] Okabe Y., Kikuchi M. J. Phys. Soc. Jap. **56**, 6, 1963 (1987).
- [23] Bethe H.A. Z. Phys. **71**, 2, 205 (1931).
- [24] Griffiths R.B. Phys. Rev. **133**, 3, A768 (1964).
- [25] Imada M., Takahashi M. J. Phys. Soc. Jap. **55**, 10, 3354 (1986).
- [26] Takahashi M. J. Phys. **C10**, 5, 1289 (1977).
- [27] Brill T.M., Boucher J.P., Voiron J., Palme W., Luthi B., Dhalenne G., Revcolevschi A. J. Magn. Magn. Mater. **140–144**, 1238 (1985).
- [28] Петрakovский Г.А., Саблина К.А., Воротынов А.М., Круглик А.И., Клименко А.Г., Валиев А.Д., Аплеснин С.С. ЖЭТФ **98**, 10, 1382 (1990).
- [29] Roessli B., Fischer P., Scherer J., Buhrer W., Furrer A., Vogt T., Petrakovskii G., Sablina K. J. Phys. Cond. Mat. **6**, 41, 8469 (1994).
- [30] Hase M., Terasaki I., Uchinokura K. Phys. Rev. Lett. **70**, 28, 3651 (1993).